

УДК 537.312.62

© 1990

**ИЗУЧЕНИЕ НЕЛИНЕЙНОСТИ  
МАГНИТНОЙ ВОСПРИИМЧИВОСТИ  
КЕРАМИЧЕСКИХ ОБРАЗЦОВ  $\text{YBa}_2\text{Cu}_3\text{O}_{7-x}$   
В НИЗКОЧАСТОТНЫХ МАГНИТНЫХ ПОЛЯХ**

*A. И. Головашкин, Н. Д. Кузьмичев, И. С. Левченко,  
Г. П. Мотулевич, В. В. Славкин*

Исследуется нелинейный магнитный отклик керамики  $\text{YBa}_2\text{Cu}_3\text{O}_7$  на низкочастотный магнитный сигнал. Наблюдались как четные, так и нечетные гармоники выходного сигнала. Амплитуды четных гармоник на порядок меньше амплитуд ближайших нечетных гармоник. Основная особенность — резкий максимум амплитуды гармоник при малых амплитудах входного сигнала, положение которого зависит от номера гармоники и почти не зависит от задающей частоты. Для объяснения результатов керамика рассматривается как совокупность примерно одинаковых контуров со слабыми связями; используется джозефсоновское выражение, полученное в одноконтактном приближении. Показано, что площади контуров для нечетных гармоник равны  $2.05 \pm 0.06 \text{ мкм}^2$ .

Ранее [1-3] обнаружено, что форма сигнала отклика сверхпроводящей керамики  $\text{YBa}_2\text{Cu}_3\text{O}_{7-x}$ , помещенной в переменное магнитное поле низкой частоты, может сильно отличаться от синусоидальной зависимости.

Спектральный анализ сигнала отклика, выполненный в [1-3], показал наличие большого числа гармоник. Найдено, что амплитуды нечетных гармоник существенно превосходят амплитуды четных гармоник. Исследование влияния внешнего постоянного магнитного поля  $H_{\perp}$  на амплитуды гармоник позволило сделать вывод, что сверхпроводящую керамику можно рассматривать как среду, содержащую контуры со слабыми связями, проявляющими джозефсоновские свойства.

В настоящей работе исследуется зависимость амплитуд  $A_n$  гармоник сигнала отклика керамики от амплитуды  $H_{\perp}$  и частоты  $\nu$  внешнего низкочастотного магнитного поля  $H_{\perp} \sin \omega t$  (здесь  $n$  — номер гармоники,  $\omega = 2\pi\nu$ ).

Использовались те же образцы, что и в [1, 2]. Применялся известный компенсационный метод измерения магнитной восприимчивости. Реализация его в этой работе представлена на рис. 1, 2. По сравнению с работами [1, 2] изменено расположение вторичных (выходных) катушек и сверхпроводника в криостате, что позволило получить большие значения амплитуды  $H_{\perp}$ . Для увеличения чувствительности можно использовать схему, в которой выходные катушки включены в резонансный контур.

Эксперимент выполнялся при температуре жидкого азота на частотах  $\nu$  от 40 до 616 Гц. Изучались нечетные гармоники сигнала отклика до номера  $n \approx 21$ , а также четные гармоники с  $n=2$  и 4. Интенсивность нечетных гармоник примерно на порядок больше интенсивности близких четных гармоник. Найдено, что качественно зависимости  $A_n(H_{\perp})$  одинаковы для всех гармоник. Основные особенности — максимум на кривой  $A_n(H_{\perp})$  при малых  $H_{\perp}$ , затем минимум и последующий рост  $A_n$ . Максимум проявляется резче при увеличении частоты  $\nu$ .

Для примера на рис. 3 приводятся зависимости напряжения гармоник с  $n=4$  и 5 сигнала отклика керамики (ниже будем писать просто отклика керамики) от амплитуды переменного магнитного поля  $H_{\perp}$  (ниже будем

писать просто  $H_{\sim}$ ). Задающая частота  $\nu=540$  Гц. Обозначим  $H_{\sim}^{(n) \max}$  значение  $H_{\sim}$ , соответствующее максимуму гармоники с номером  $n$  отклика керамики для заданной частоты  $\nu$ . Для исследованных четных гармоник,

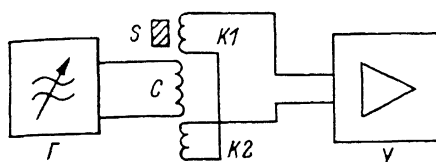


Рис. 1. Электрическая схема опыта.

$G$  — генератор ГЗ-33,  $C$  — соленоид;  $S$  — образец ВТСП;  $K_1$ ,  $K_2$  — компенсационные катушки;  $Y$  — усилитель У2-8.

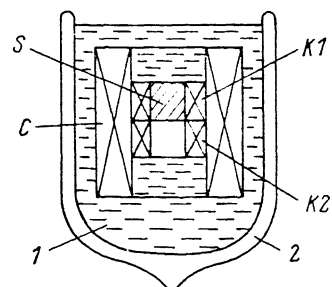


Рис. 2. Взаимное расположение катушек и сверхпроводника (1) в криостате (2).

соответствующих  $n=2$  и  $4$ , величина  $H_{\sim}^{(n) \max}$  практически не зависит от  $\nu$ . Для нечетных наблюдается незначительный рост с увеличением  $\nu$ . В обоих случаях наблюдается заметный рост  $H_{\sim}^{(n) \max}$  с увеличением номера гармоники  $n$ . Зависимость положения максимумов  $H_{\sim}^{(n) \max}$  от  $n$  приводится на рис. 4 (кривая 1). Зависимость  $H_{\sim}^{(n) \max}$  от задающей частоты  $\nu$  невелика, поэтому на графике для каждого номера  $n$  отложено среднее значение по всем использованным частотам  $\nu$ . Чёрными точками отмечены нечетные гармоники с  $n > 1$ , белыми — четные гармоники с  $n=2$  и  $4$ . Отмечена экспериментальная ошибка.

Из рис. 4 можно заключить, что зависимости  $H_{\sim}^{(n) \max}$  для нечетных и четных гармоник, по-видимому, разные. Из-за малости амплитуды четных гармоник удалось получить значения  $H_{\sim}^{(n) \max}$  только для  $n=2$  и  $4$ . Этих данных недостаточно для построения кривой  $H_{\sim}^{(n) \max}(n)$ , относящейся к четным гармоникам.

Вернемся к модели отклика сверхпроводящей керамики, помещенной в переменное магнитное поле. Рассматривая керамику как совокупность примерно одинаковых контуров со слабой связью, имеющей критический ток  $I_c$ , получим в одноконтактном приближении, что наведенный в поле ток определяется джозефсоновским выражением [3, 4]

$$I(t) = I_c \sin \left[ \frac{2\pi S_{\sim} H_{\sim}}{\Phi_0} + \frac{2\pi S_{\sim} H_{\sim}}{\Phi_0} \sin \omega t \right], \quad (1)$$

где  $\Phi_0 = hc/2e = 2 \cdot 10^{-7}$  Гс · см<sup>2</sup>,  $H_{\sim}$  — напряженность постоянного магнитного поля, магнитная восприимчивость  $\mu=1$ . В отличие от [3, 4] в (1)

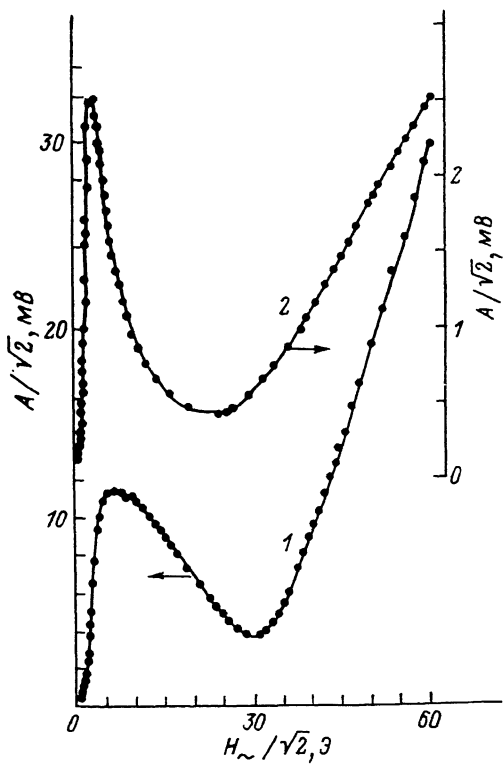


Рис. 3. Зависимость напряжения пятой  $U_5 = A_5/\sqrt{2}$  (1) и четвертой  $U_4 = A_4/\sqrt{2}$  (2) гармоник от  $H_{\sim}$ .  $\nu_1 = 540$ ,  $\nu_5 = 2700$ ,  $\nu_4 = 2160$  Гц.

введены разные эффективные площади контуров для постоянного  $S_{\perp}$  и переменного  $S_{\sim}$  потоков. Эти площади в принципе могут быть различны, например, из-за влияния емкости между гранулами керамики. Обозначив  $y = 2\pi S_{\perp} H_{\perp}/\Phi_0$ ,  $x = 2\pi S_{\sim} H_{\sim}/\Phi_0$ , получим

$$I(t) = I_e \sin(y + x \sin \omega t). \quad (2)$$

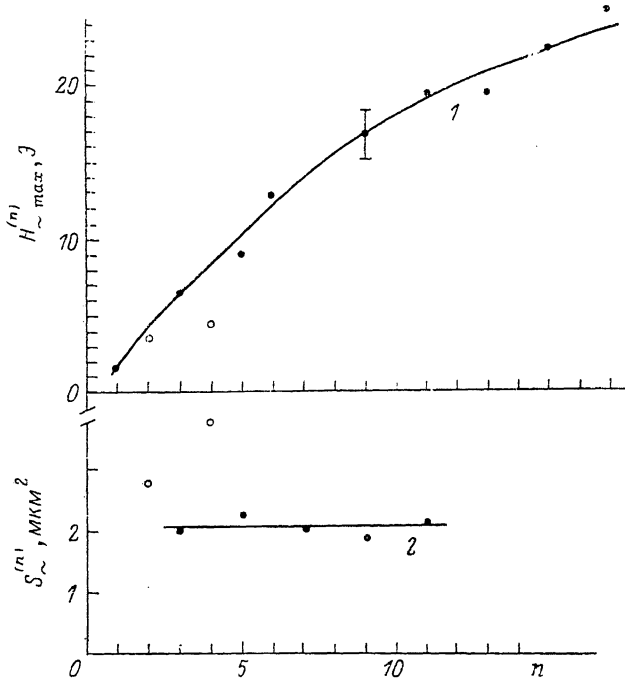


Рис. 4. Зависимость от номера гармоники  $n$   $H_{\sim \max}^{(n)}$  (1) и  $S_{\sim}^{(n)}$  (2).

Разлагая выражение (2) в ряд Фурье-Бесселя [4, 5], найдем

$$I(t) = \sum_{i=0}^{\infty} I_i(t) = I_e \left\{ \sin y \sum_{k=0}^{\infty} J_{2k}(x) \sin 2k\omega t + \right. \\ \left. + \cos y \sum_{k=1}^{\infty} J_{2k-1}(x) [\sin (2k-1)\omega t] \right\}, \quad (3)$$

где первые члены ряда

$$I_0 = I_e J_0(x) \sin y, \quad I_1 = I_e J_1(x) \cos y \sin \omega t, \\ I_2 = I_e J_2(x) \sin y \sin 2\omega t, \quad I_3 = I_e J_3(x) \cos y \sin 3\omega t. \quad (3a)$$

Здесь  $J_n(x)$  — функция Бесселя  $n$ -го порядка. Таким образом, амплитуды гармоник тока  $I_{0n} = I_e |J_n(x) \sin(y + n \cdot \pi/2)|$ , т. е.  $I_{0n} \sim |J_n(x)|$ .

Для малых  $H_{\perp}$  (в нашем опыте  $H_{\perp}$  — это магнитное поле земли), когда  $H_{\perp} \ll H_{\sim}$ ,  $y$  — малая величина. Поэтому четные гармоники оказываются значительно слабее ближайших нечетных гармоник:  $I_{02}/I_{03} \approx y J_2(x)/J_3(x)$ . С ростом поля  $H_{\perp}$  относительная величина амплитуд четных гармоник увеличивается.

Осциллирующий в контурах ток из-за взаимоиндукции индуцирует на выходной катушке напряжение сигнала отклика. Т. е. сигнал отклика керамики  $V \sim M dI/dt$ , где  $M$  — взаимоиндукция контуров и выходной измерительной катушки; таким образом, сигнал отклика нелинейен и содержит гармоники со значительными амплитудами. Данная модель предсказывает, что максимальные величины амплитуд гармоник будут при  $H_{\sim} \sim \Phi_0/S_{\sim}$ .

Оценим площадь контуров  $S_{\sim}^{(n)}$  для гармоник с номером  $n$  по первым максимумам в  $J_n(x)$ . Обозначим через  $H_{\sim \max}^{(n)}$  и  $X_{n \max}$  значения амплитуды переменного поля  $H_{\sim}$  и аргумента функции Бесселя  $n$ -го порядка, соответствующие максимуму  $J_n(x)$ . Используя экспериментальные значения  $H_{\sim \max}^{(n)}$ , получим

$$S_{\sim}^{(n)} = \Phi_0 X_{n \max} / 2\pi H_{\sim \max}^{(n)}. \quad (4)$$

Значения  $S_{\sim}^{(n)}$  приводятся на рис. 4, 2. Из этого рисунка видно, что для нечетных гармоник с  $n > 1$  график 2 — горизонтальная прямая (для  $n=1$  значение  $H_{\sim \max}^{(1)}$  порядка ошибки измерения), т. е.  $S_{\sim}^{(n)}$  постоянно и равно  $2.05 \pm 0.06 \text{ мкм}^2$ . Постоянство  $S_{\sim}^{(n)}$  подтверждает джозефсоновскую природу рассматриваемого эффекта. Точки для четных гармоник  $n=2$  и  $4$  выпадают из указанной зависимости. Равенство площадей  $S_{\sim}^{(n)}$  для всех нечетных гармоник показывает, что зернистость структуры не размывает полученной картины.

В данной работе исследовалась зависимость отклика керамики на переменное магнитное поле. Осуществлялся случай  $H_{\sim} \ll H_{\perp}$ . В работах [1, 2] изучалась зависимость отклика керамики на постоянное магнитное поле  $H_{\perp}$ . Осуществлялся случай  $H_{\sim} > H_{\perp}$ . Результаты и выводы всех этих работ согласуются между собой.

Отметим, что при увеличении амплитуды  $H_{\sim}$  наблюдалось появление дополнительных особенностей на зависимости  $A_n(H_{\sim})$ , которые, вероятно, связаны с влиянием самих гранул.

Работа поддерживается Научным советом по проблеме ВТСП и выполняется в рамках проектов № 41 и 1-73 Государственной программы «Высокотемпературная сверхпроводимость».

#### Список литературы

- [1] Головашкин А. И., Кузьмичев Н. Д., Левченко И. С., Мотулевич Г. П., Славкин В. В. // ФТТ. 1989. Т. 31. № 4. С. 233—235.
- [2] Головашкин А. И., Кузьмичев Н. Д., Левченко И. С., Мотулевич Г. П., Славкин В. В. // Препринт ФИАН СССР. М., 1989. № 41. С. 1—6.
- [3] Jeffries C., Lam Q. H. e. a. // Phys. Rev. 1988. V. 37. N 16. P. 9840—9843.
- [4] Бароне А., Патерно Дж. Эффект Джозефсона. М., 1984. 640 с.
- [5] Солимар Л. Туннельный эффект и его применение. М., 1974. 430 с.

Физический институт  
им. П. Н. Лебедева АН СССР  
Москва

Поступило в Редакцию  
18 августа 1989 г.  
В окончательной редакции  
9 ноября 1989 г.